

# 双链多核苷酸 poly I:C 的制备

靳传富 李生广 刘永谦 焦有烈  
(中国科学院生物物理研究所) (中国人民解放军 59175 部队)

蒋巧云  
(中国科学技术大学生物物理教研室)

自 1957 年 Issacs 发现干扰素以来,人们对于干扰素进行了广泛的研究。由于外源性干扰素在来源、提纯、长期保存方面遇到很大困难,因此,研究工作较多地转向内源性干扰素及其诱导物。

干扰素是一种分子量较小、较耐酸碱的蛋白质,是宿主天然抵抗力的一个组成部分。它可以由病毒 RNA 诱导产生,也可以由天然的或人工合成的其他物质诱导产生;后者统称为干扰素诱导物。很多物质都可以诱导干扰素。除病毒外,细菌、寄生动物、多糖、细菌内毒素、微生物提取物、合成塑料等人工聚合物均可作为诱导物,但是有研究价值和前途的为数极少。多聚核苷酸类化合物是引人注目的干扰素诱导物。在近 30 种已研究的这类化合物中,双链多核苷酸 poly I:C[注]是最有效的干扰素诱导物。它具有使用剂量小、诱导效价高等特点,并已开始临床试用,是干扰素诱导物研究的重点对象之一。

poly I:C 不仅具有抗病毒作用,而且能刺激吞噬作用,增强抗体的形成,具有抗肿瘤及细菌、原虫感染等多重保护作用。

poly I:C 抗病毒作用的特点是具有广普性。在细胞培养及动物体内对多种病毒(例如,肺炎病毒、脑心肌炎病毒、疱疹性口腔炎病毒及某些副流感病毒等)感染,均有良好的保护作用。poly I:C 对几种转移性肿瘤有显著的抗性,对 L 1210 腹水肿瘤的抗性尤其明显;对于多种网状细胞肉瘤、S 91 黑瘤、乳腺癌、纤维肉瘤等具有不同程度的抑制作用。此外,对某些病菌及原虫感染也具有保护活性。poly I:C 的临床应用尚在初步试验阶段,但已有少数成功的例子。从国内外有限的临床报告来看, poly I:C 对预防感冒、治疗疱疹性角膜炎和疱疹性口腔炎等病毒性疾病效果显著;抗肿瘤等疾病的效果尚需进一步临床观察。

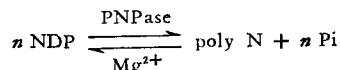
目前,人们对许多病毒性疾病还缺乏有效的防治方法。干扰素及其诱导物的研究,为今后防治某些病毒性疾病及肿瘤提供了新的途径。因此,开展高效诱导物 poly I:C 的研究,不仅具有重要的实际意义,而且对于联系生产实际开展核酸结构与功能的理论研

究,也具有一定意义。

关于干扰素及其诱导物 poly I:C 的生物学功能已有很多报道;本文着重介绍大分子 poly I:C 的制备方法。

## 原 理

多核苷酸磷酸化酶(PNPase)催化各种核糖核苷二磷酸(NDP)的聚合反应,产生多核苷酸及无机磷。其反应式是:



单链多核苷酸聚合物 poly I 和 poly C,在一定条件下等克分子混合后,按碱基配对原理形成双链多核苷酸 poly I:C。

## 材 料 和 方 法

### 1. CDP 的制备

CDP 有两种来源。一种是 Moffatt-Khorana 法,使用二环己基碳二亚胺(DCCI)缩合剂进行有机合成,经柱层析分离纯化(图 1);产率约 50%,异丁酸系统纸层析鉴定为纯品(图 2)。

一种是北京市首都啤酒厂光合磷酸化法生产 CTP 的副产物,经离子交换柱层析法分离纯化:柱床体积  $\phi 100 \times 400$  毫米,聚苯乙烯季胺型强碱性阴离子交换

[注] 本文所用核苷酸的缩写如下:

- ADP——腺嘌呤核苷二磷酸
- AMP——腺嘌呤核苷一磷酸
- ATP——腺嘌呤核苷三磷酸
- CDP——胞苷二磷酸
- CMP——胞苷一磷酸
- CTP——胞苷三磷酸
- IDP——次黄嘌呤核苷二磷酸
- NDP——任一核苷二磷酸
- poly C——多聚胞嘧啶核苷酸
- poly I——多聚次黄嘌呤核苷酸
- poly N——某种多聚核苷酸
- poly I:C——双链多聚次黄嘌呤核苷酸胞嘧啶核苷酸

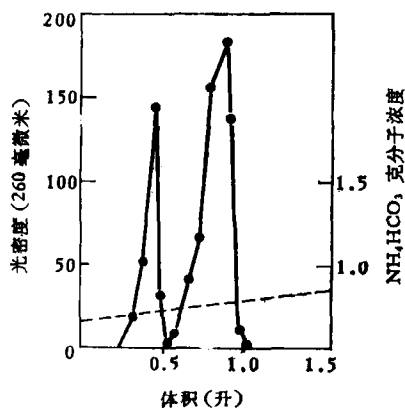


图1 有机合成 CDP 柱层析图谱

Zerolit FF 阴离子交换树脂( $\text{Cl}^-$ 型), 柱床体积  $\phi 35 \times 300$  毫米,  $0.3-1.5 \text{ M NH}_4\text{HCO}_3$  线性梯度洗脱, 流速 120 毫升/小时 (虚线表示盐浓度梯度)

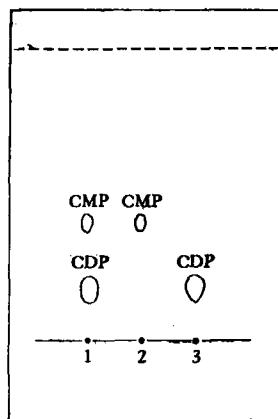


图2 纸层析图谱(上行)

溶剂: 异丁酸:  $1 \text{ M NH}_4\text{OH}:0.1 \text{ M EDTA} = 100:60:1.6$

1——上柱液; 2——峰 I; 3——峰 II

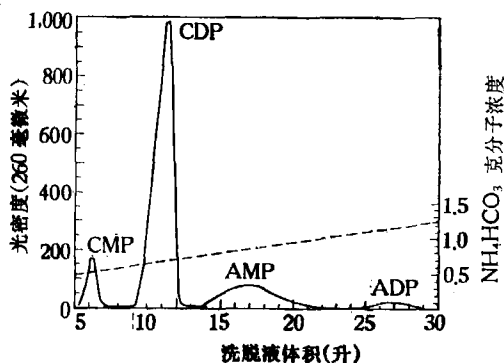


图3 光合磷酸化制备 CDP 的柱层析图谱 (虚线表示盐浓度梯度)

树脂(华东化工学院产), 200—400 目( $\text{HCO}_3^-$ 型); 上柱量  $1.9 \times 10^6 \text{ OD}_{260}$  [光密度(260 毫微米)], 上柱液浓度 1%, pH 9, 流速 1,000 毫升/小时;  $0.3-1.5 \text{ M NH}_4\text{HCO}_3$  (各 20 升) 线性梯度洗脱, 流速 1,000 毫升/小时, 分部收集体积 200 毫升。结果见图 3、表 1。收集 CDP 峰 3,000 毫升, 减压浓缩至约 500 毫升, 调至 pH 2.5, 加四倍体积 95% 乙醇,  $4^\circ\text{C}$  放置过夜; 沉淀加数次无水乙醇脱水, 研碎, 用乙醚洗三次, 减压除去乙醚得洁白干粉 89.8 克。纸电泳鉴定(图 4)为电泳纯, 含量 90%。

表 1 CDP 柱层析收率

名称	体积(毫升)	$\text{OD}_{260}$
CMP	4,120	$1.36 \times 10^5$
CDP	3,000	$1.55 \times 10^6$
AMP	9,000	$2.9 \times 10^5$
ADP	7,900	$6 \times 10^4$

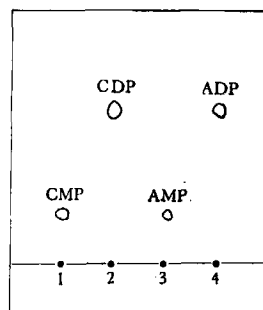


图4 CDP 柱层析各峰电泳图谱

溶剂:  $0.05 \text{ M}$  柠檬酸缓冲液, pH 3.0; 600 伏, 2 小时

## 2. IDP 的制备

IDP 由 ADP 脱氨制备。ADP 由首都啤酒厂光合磷酸化法生产 ATP 的副产物制备, 分离纯化条件与 CDP 的相同。将 40 克 ADP 溶于 2,000 毫升水, 加 60 克固体  $\text{NaNO}_2$ , 冰醋酸调至 pH 3.5, 室温反应

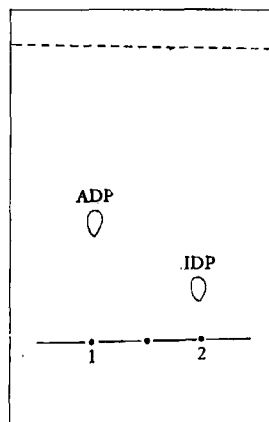


图5 纸层析图谱(上行)

溶剂同图 2。1——脱氨前; 2——脱氨后

3—4 小时;异丁酸系统纸层析检查(图 5)。待 ADP 完全脱氨后,用饱和 LiOH 调至 pH 7.0,加 2—3 倍体积 95% 乙醇,4℃ 静置过夜;沉淀,按上述制备 CDP 的方法制成干粉,含量约 90%。

### 3. poly I 的制备

反应体系每毫升含: IDP 20—30 毫克, MgCl<sub>2</sub> 6 微克分子, EDTA 1 微克分子, 尿素 300 微克分子, Tris-HCl (pH 8.5) 150 微克分子, *E. Coli* 多核苷酸磷酸化酶\* 2 单位。在 35℃ 保温 10—12 小时。反应过程中粘度增加, OD<sub>248</sub> 下降, 无机磷增加。反应 4 小时出现明显合成点, 4—6 小时减色效应最明显, 11 小时无机磷仍有明显增加。适时终止反应, 按 Gierer-Schramm 法分离聚合物。聚合反应终止时加入 1.5 倍体积的 85% 重蒸酚, 剧烈振荡 10 分钟, 静置分层。除去酚层, 加少量水反抽提酚层。合并两次水相, 如上重复处理一次。水相加入等体积乙醚, 萃取水相残余酚, 重复 2—3 次。减压除去水相残余乙醚, 对 0.05 M NaCl-0.004 M 柠檬酸钠在 4℃ 透析三次, 对重蒸水透析至外液无紫外吸收; -20℃ 保存, 最大制备量 1.2 克, 产率见表 2。

表 2 poly I 产率

起始反应 OD <sub>248</sub>	终止反应 OD <sub>248</sub>	产物 OD <sub>248</sub>	产率(%)
28.8 × 10 <sup>3</sup>	25.6 × 10 <sup>3</sup>	12.0 × 10 <sup>3</sup>	53
28.8 × 10 <sup>3</sup>	24.5 × 10 <sup>3</sup>	10.8 × 10 <sup>3</sup>	52.3

### 4. poly C 的制备

除底物改用 5'-CDP 外, 反应条件和聚合物分离步骤与 poly I 制备法相同。最大制备量 1.2 克, 产率见表 3。

表 3 poly C 产率

起始反应 OD <sub>269</sub>	终止反应 OD <sub>269</sub>	产物 OD <sub>269</sub>	产率(%)
24.0 × 10 <sup>3</sup>	16.7 × 10 <sup>3</sup>	9.36 × 10 <sup>3</sup>	69.5
24.0 × 10 <sup>3</sup>	19.3 × 10 <sup>3</sup>	10.4 × 10 <sup>3</sup>	63

### 5. poly I:C 的制备

在上述条件下, 由 IDP 和 CDP 制备 poly I 和 poly C 的减色效应约 30%。按减色效应 30%、聚合物链节分子量计算, IDP 残基分子量 330.22, 毫克分子消光系数 (λ<sub>248</sub>) 7,600; CDP 残基分子量 305.21, 毫克分子消光系数 (λ<sub>269</sub>) 6,300。实验表明, 按此数据计算的 poly I 和 poly C 比例接近等克分子比。

在 0.1 M NaCl, 0.005 M MgCl<sub>2</sub>, 0.006 M (pH 7.0) 磷酸缓冲液中, 将 poly I 和 poly C 配制相同克分子浓度的溶液; 等体积混合, 40℃ 保温 10 分钟, poly I 和 poly C 即形成具双螺旋结构的双链多核苷酸 poly I:C。-20℃ 保存。产物减色效应\*\*为 33—35%。本次实验制备 poly I:C 共 1,793 毫克。

## 产品的鉴定

我们对所制备的 poly I:C 进行了一般的理化性质鉴定。紫外吸收光谱用 SV-50 型紫外分光光度计测定; 熔化曲线用 QR-50 型紫外分光光度计测定; 荧光光谱用 Optica 荧光分光光度计测定。所用荧光染料菲啉溴红是中国科学院生物物理研究所合成的产品。

### 1. 紫外吸收光谱

按上述 poly I:C 制备条件, 配制适当浓度的 poly I 和 poly C, 分别测定其吸收光谱; 然后各取 2 毫升溶液混合, 于 40℃ 保温 10 分钟, 冷却至室温测定其吸收光谱, 结果见图 6。在 240—260 毫微米出现显著的减色效应, 表明两种单链聚合物已聚合为双链聚合物。

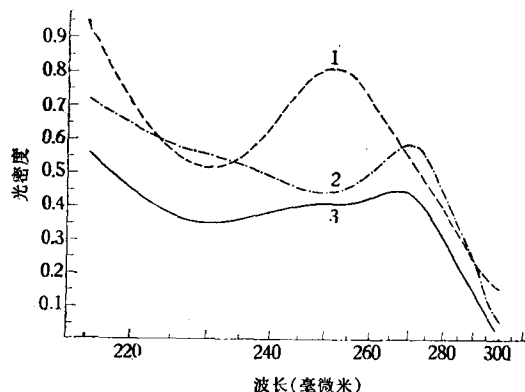


图 6 紫外吸收光谱

1—poly I; 2—poly C; 3—poly I:C

### 2. 熔化曲线的测定

上述 poly I:C 制品用同种溶剂稀释至 0.42 OD<sub>248</sub>/毫升, 以同种溶剂作对照, 在不同温度下测定 OD<sub>248</sub>, 结果见图 7。曲线最大高度 h<sub>最大</sub> = 1.71, 据公式,

$$h = \frac{1}{2} (h_{\text{最大}} + 1) = 1.355$$

由图查得曲线高度 h 时的溶解温度 T<sub>m</sub> = 72.5℃。另外熔化前、后的温度为 T<sub>A</sub> = 70℃, T<sub>B</sub> = 75℃, 按另一公式计算:

$$T_m = \frac{1}{2} (T_A + T_B) = 72.5^\circ\text{C}$$

熔化曲线及 T<sub>m</sub> 值表明, poly I:C 具有很规则的双螺旋结构。

\* 由中国科学院生物物理研究所制备

\*\* 减色效应值 =  $\frac{A_I + A_C - 2A_{I:C}}{A_I + A_C} \times 100\%$

式中, A<sub>I</sub>—poly I 的 OD<sub>248</sub> 数;

A<sub>C</sub>—poly C 的 OD<sub>248</sub> 数;

A<sub>I:C</sub>—poly I:C 的 OD<sub>248</sub> 数

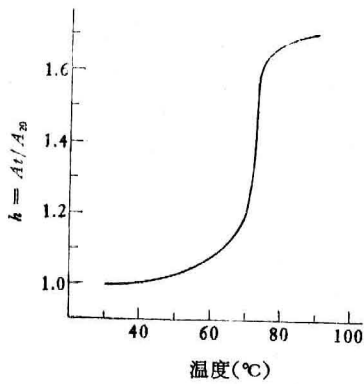


图7 poly I:C 的熔化曲线

$A_t$ —— $t$  °C 时的  $OD_{248}$  数;  
 $A_{20}$ ——20°C 时的  $OD_{248}$  数

### 3. 荧光发射光谱

荧光染料非啶溴红 (EB) 与双链 poly I:C 具有特异的结合能力。非啶溴红本身仅能发出很微弱的荧光, 但与 poly I:C 结合后形成 EB-poly I:C 络合物, 其荧光强度显著增大。单键及三链聚合物则无荧光增强效应。

将 poly I:C 和 EB 分别溶于 0.1 M NaCl 和 0.1 M (pH 7.7) Tris-HCl 缓冲液; 将两种溶液等体积混合, 使 poly I:C 浓度为 22 微克/毫升, EB 浓度为 8 微克/毫升, 然后测定其荧光发射光谱。结果见图 8, 荧光强度显著增强。

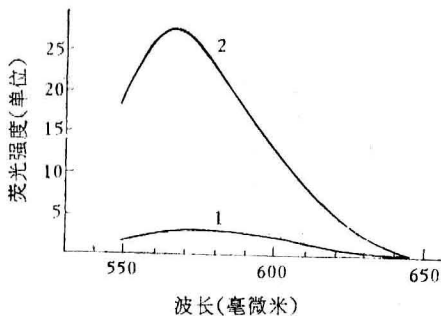


图8 荧光发射光谱(激发光波长 526 毫微米)

1——EB; 2——EB-poly I:C

### 4. 分子量测定\*

poly I:C 的分子量对其诱导干扰素的能力及抗病毒效果有很大影响。分子量低于 1,000 时无诱导作用, 超过 20,000 时诱导能力大大提高。为此, 我们测定了 poly I, poly C 及 poly I:C 的分子量。

#### (1) 聚丙烯酰胺凝胶电泳法:

凝胶浓度为: 2.4% (丙烯酰胺: 双丙烯酰胺 = 20:1), 3% (丙烯酰胺: 双丙烯酰胺 = 33:1), 3.5% (丙烯酰胺: 双丙烯酰胺 = 31:1); 电泳缓冲液为: 0.02 M NaAc, 0.001 M EDTA, 0.04 M (pH 7.4) Tris-

HAc; 每管电流 5 毫安, 指示剂溴酚蓝到终止为止 (约 3.5—4 小时)。

样品 (含 0.5% 蔗糖) 15—20 微升 (约 50 微克); 标准样品为: 大肠杆菌 23 S RNA, 16 S RNA, 酵母 4 S tRNA; 0.2% 次甲基蓝-0.2 M HAc-0.12 M NaAc 染色 6—8 小时, 水脱色 24—36 小时。结果见图 9, poly I 主要成分 16—23 S, poly C 主要成分大于 23 S, poly I:C 基本上在 23 S。

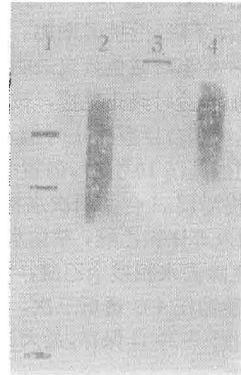


图9 凝胶电泳图谱

1——23 S RNA, 16 S RNA, 4 S RNA; 2——poly I; 3——poly I:C; 4——poly C

#### (2) 葡聚糖凝胶过滤法:

G-100 交联葡聚糖 (40—120 微米), 柱床体积  $\phi 5 \times 1,150$  毫米, 0.2 M NaCl 洗脱, 流速 7.5 毫升/小时; 紫外监测计自动记录, 波长 260 毫微米, 记录纸速度 60 毫米/小时; 标准样品为: 烟草花叶病毒 28 S RNA, 大肠杆菌 23 S RNA 和 16 S RNA, 酵母 4 S tRNA。结果见图 10, poly I:C 分子量大于 28 S, 均一性也较好。

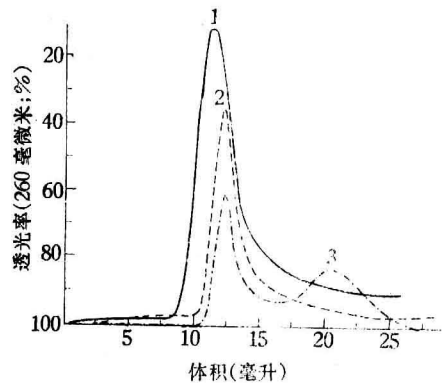


图10 凝胶过滤图谱

1——poly I:C; 2——烟草花叶病毒 28 S RNA; 3——大肠杆菌 23 S RNA 和 16 S RNA, 酵母 4 S tRNA

\* RNA 标准样品由中国科学院微生物研究所提供

质的切片有较好的强度和稳定性，可以不用支持膜而直接捞在载网上。

## 结果和讨论

细胞结构的细节是否保存得好，除了固定作用的因素之外，与所选用的包埋介质也有一定的关系。Ito (1962) 曾报道过，在采用环氧树脂 Epon 812 包埋组织材料之后，才发现原来认为是因固定不及时而引起的死亡后变化，是由甲基丙烯酸酯包埋介质产生的假象。为了说明邻苯二甲酸二丙烯酯的性能，我们用 Epon 812 进行了初步对照观察。

图版 XII 和图版 XIII 所示的鼠肝细胞图片，除了所用的包埋介质不同之外，其它过程完全相同。从图片中细胞器的细节结构和反差情况来看，两者的差别并不显著。细胞核与胞质也比较丰满。这说明邻苯二甲酸二丙烯酯在聚合时对细微结构的影响并不严重。

与 Epon 812 比较的结果表明：在组织包埋块的性能方面，Mets 等的配方稍逊于 Epon 812。Epon 812 的包埋块在切割时呈韧性，而邻苯二甲酸二丙烯酯则呈脆性。我们改变配方，增加二丁醇的含量，发脆的程度有所改善，但仍不能达到 Epon 812 那样的韧性。这方面的缺点有待于今后进一步摸索解决。可切得的薄

片一般在 500 埃左右。

我们在实践过程中，曾发生过包埋块脆裂和聚合不匀的现象。我们推测，除了 Mets 等在报告中提到的与邻苯二甲酸二丙烯酯的纯度有关之外，与过氧化苯甲酰的含量也有关系。我们采用现在的配比，则从未发生过包埋块开裂的现象。搅拌均匀也是一个重要因素，因为往往由于粘度不大，而忽视了过氧化苯甲酰的溶解是否完全和均匀。

邻苯二甲酸二丙烯酯含有一种油状物质，尤其在未经减压重蒸处理的材料中特别明显，聚合后可以清楚地看到有油状物溢出。经减压重蒸处理后这种现象得到了改善，所以是否有必要进行重蒸处理，需视商品的质量而定。

一般来说，这种包埋材料粘度低、配比简便，能观察到清晰的图象。更重要的是这些材料完全立足于国内，为今后开展超显微结构的研究工作提供了一个有利的物质条件。

## 参 考 资 料

Mets, M. et al: *J. Ultrastructure Research*, 42, 337, 1973.

[本文于 1975 年 3 月 20 日收到]

(上接第 28 页)

## poly I:C 的生物功能实验\*

### 1. 在细胞上诱导干扰素的能力

用三种不同浓度的 poly I:C，对人胚肺细胞诱导干扰素。攻击病毒：水泡性口炎病毒 (VSV)；染料摄入法测定结果，见表 4 (表中，DU<sub>50</sub> 单位是：被保护细胞摄入中性红的量为正常细胞的 50% 时，其干扰素稀释度的倒数的对数。下同)。

表 4 poly I:C 在人胚肺细胞诱导干扰素的能力

poly I:C 剂量 (微克/毫升)	诱导干扰素能力 (DU <sub>50</sub> 单位/毫升)
100	20
10	10
1	1

### 2. 在小白鼠体内诱导干扰素的能力

用三种不同剂量的 poly I:C 在体重 14—16 克的小白鼠体内诱导干扰素，取其血清处理第二代鼠胚细胞，以 VSV 病毒作为攻击病毒，染料摄入法测定结果，见表 5。

### 3. 抗病毒效果

用浓度为 1 微克/毫升的 poly I:C 作用于人胚细胞，能保护 50% 以上的细胞免受 210 TCD<sub>50</sub> 副流感 (仙台株) 病毒的攻击；65.7% 的细胞免受 40—231

表 5 poly I:C 在小白鼠体内诱导干扰素的能力\*

poly I:C 剂量 (微克/只)	诱导干扰素能力 (DU <sub>50</sub> 单位/毫升)
100	675.1
25	206.4
2.5	38.9

\* 每组 10 只小白鼠，三次实验的平均值

TCD<sub>50</sub> VSV 病毒攻击；74.6% 的细胞免受 31 TCD<sub>50</sub> 冠状病毒的攻击。

## 小 结

利用大肠杆菌多核苷酸磷酸化酶，将不同方法得到的 CDP 和 IDP 分别聚合成 poly C 和 poly I，在本实验条件下制备 poly I:C。经测定，poly I:C 具有规则的双螺旋结构，分子量大，均一性好，产率较高。对于细胞和在生物体内有较高的诱导干扰素的能力，对某些病毒感染有明显的保护作用。

## 参 考 资 料

中国科学院微生物研究所：核苷酸类物质的生产和应用资料汇编，1，1971。

[本文于 1975 年 5 月 12 日收到]

\* 实验是由中国人民解放军 59175 部队进行的